Sthichhalime abanip, alrha XV, No. 5, 1962

Серия технических наук

инженерная сеясмология

Э. Е. ХАЧИЯН

РАСЧЕТ СООРУЖЕНИЙ НА СЕЙСМОСТОЙКОСТЬ ПО АКСЕЛЕРОГРАММАМ СИЛЬНЫХ ЗЕМЛЕТРЯСЕНИЙ

Сообщение 2

В статье приводятся результаты расчета гибких сооружений на сейсмическое воздействие по вкселерограммям четырех сильных землетрясений силой 7 и 8 баллов при помощи электронных вычислительных машин.

Расчетные схемы некоторых гибких сооружений (дымовые трубы, отдельные стойки, башни, опоры мостов) приводятся к защемленному брусу с преобладанием деформаций изгиба. В первом приближении принимаем, что брус постоянного сечения, тогда уравненяе свободных колебаний будет

$$EJ \frac{\partial^4 y}{\partial x^4} + m \frac{\partial^2 y}{\partial t^2} = 0, \tag{1}$$

где y(x, t) — перемещение точек на оси стержня:

Е — модуль упругости материала стержня;

J — момент инерции поперечного сечения;

т — масса стержия на единицу длины.

Подстановка $y_i(x, t) = Y_i(x) q_i(t)$ при граничных условиях соответствующих жесткому защемленню консолн (при x=0 17 (x)=0, $Y_{i}(x) = 0$, при x = 1 $Y_{i}(x) = 0$, $Y_{i}(x) = 0$) получим следующее выражение для фундаментальной функции

$$Y_{i}(x) = -\frac{\sin \mu_{i} + \sin \mu_{i}}{\cos \mu_{i} + \cos \mu_{i}} (\cos \lambda_{i} x - ch \lambda_{i} x) + \sin \lambda_{i} x + sh_{i} x, \qquad (2)$$

где

$$p_j = \lambda_j \ l, \ \lambda_j = \frac{1}{2} \int \frac{mp_j}{mp_j} \ . \tag{3}$$

Здесь рі — круговые частоты свободных колебаний, которые ределяются из уравнения

$$\cos \mu \, ch \, \mu + 1 = 0 \tag{4}$$

вервые три коряя которого равны:

$$g_1 = 1.875$$
, $g_2 = 4.694$, $g_1 = 7.855$.

Нормальные координаты a_i (t) при выпужденных колебаниях основания сооружения по закону y_i (t) с учетом рассеяния эпергии удовлетворяют следующему дифференциальному уравнению [1]:

$$q_i(t) - q_i(t) = -y_0(t),$$
 (5)

где

$$c_{ij} = \frac{2}{\mu_{I}} \left(\frac{\cos \mu_{I} + ch \, \mu_{I}}{\sin \mu_{I} + sh \, \mu_{I}} \right) \tag{6}$$

 α — коэффициент внутреннего трения, связанный с декрементом затухания θ соотношением $\theta = \alpha \pi$ и принимаемый постоянным для всех форм колебания*. Общим решением уравнения (5) при нулевых начальных условиях (при t=0 $q_1=q_2=0$), будет

$$q_{I}(t) = -\frac{\delta_{I}}{\rho_{I}} \int_{0}^{t} e^{-\frac{t}{2}} y_{0}(t) \sin \rho_{I}(t-\xi) \tag{7}$$

Изгибающий момент отвечающий полному деформированному состоянию бруса будет

$$M(x, t) = EJ \sum_{i=1}^{\infty} Y_i(x) q_i(t).$$
 (8)

Подставляя соответствующие значения получим

$$M(x,t) = \frac{q}{g} \sum_{i=1}^{n} \gamma_i(x) \frac{2\pi}{T_i} \int_0^x e^{-\frac{t}{T_i}} y_0^*(\xi) \sin \frac{2\pi}{T_i} (t-\xi) d\xi.$$
 (9)

Перерезывающая сила в каком-либо сечении бруса будет

$$Q(x, t) = \frac{\partial M(x, t)}{\partial x}$$

яля

$$Q(x, t) = \frac{qI}{g} \sum_{i} \eta_i(x) \frac{2\pi}{T_i} \int_0^{t-T_i} e^{-tt} y_0(\xi) \sin \frac{2\pi}{T_i} (t - \xi) d\xi, \quad (10)$$

пде

$$T_{i}(x) = \frac{2}{\mu_{i}^{3}} \left(\frac{\cos \mu_{i} + ch \, \mu_{i}}{\sin \mu_{i} + sh \, \mu_{i}} \right) \left[-h \, u_{i} \frac{x}{l} + \cos \mu_{i} \frac{x}{l} - \left(\frac{\cos \mu_{i} + ch \, \mu_{i}}{\sin \mu_{i} + sh \, \mu_{i}} \right) \left(-sin \, \mu_{i} \frac{x}{l} + sh \, \mu_{i} \frac{x}{l} \right) \right], \tag{11}$$

О постоянстве затухания для первых нескольких форм колебаний см. статьи М. Мерфи. Дж. Байкрофта, Л. Харрисопа и М. Исады п сборнике "Международили конференция по сенемостойкому строительству", Госстройиздат. М., 1961 г.

$$\frac{\pi_{I}(x)}{\pi_{I}} = -\frac{2}{\mu_{I}} \left(\frac{\cos \mu_{I} + ch \, \mu_{I}}{\sin \mu_{I} + sh\mu_{I}} \right) \left[-sh \, \mu_{I} \frac{x}{I} - \sin \mu_{I} \frac{x}{I} \right] - \left(\frac{\cos \mu_{I} + ch \, \mu_{I}}{\sin \mu_{I} + sh \, \mu_{I}} \right) \left(ch \, \mu_{I} \frac{x}{I} + \cos \mu_{I} \frac{x}{I} \right) \right].$$

Определение максимумов M и Q осуществлялось при помощи электронно-вычислительной машины в Вычислительном центре AH Армянской ССР, В качестве законов колебания ускорения почвы были приняты четыре акселерограммы сильных землетрясений силой 7 и 8 баллов. Методика расшифровки и акселерограммы землетрясений приведена в работе [3]. Акселерограммы землетрясений заимствованы из [4].

При фиксированном значении $x=x_k$ и задвиных значениях T_n , T_n и T_n и z для акселерограммы № 1 были получены 225 значений изгибающих моментов и поперечных сил с учетом трех форм колебаний. Из этих 225 значений для $x=x_k$ были отобраны максимальные значения изгибающих моментов и поперечных сил для этого сечения. Таким образом только для одной акселерограммы № 1 было получено 20-225=4500 значений изгибающих моментов и поперечных сил, из которых были отобраны 20 максимальных значений. Это дало возможность следить за измечением изгибающих моментов и поперечных сил во времени в различных сечениях по высоте сооружения. Вычисления производились при следующих значениях периодов свободных колебаний (в секуилах):

$$T_1 = 2.5$$
, $T_2 = 0.40$, $T_3 = 0.15$,

для х=0; 0,04; 0,08 и 0,16.

На рис. 1 построены графики изменения во времени изгибающих моментов и поперечных сил для нижнего и верхнего сечений гибкой консоли при z = 0.08 для акселерограммы № 1.

Причем, чтобы иметь правильное представление о влиянии высщих форм колебания, машина одновременно давала доли каждой формы колебаний (каждого члена ряда) в общем максимуме и момент возникновения этого максимума, что в спою очередь дало возможность следить за распространением максимальных значений изгибающих моментов и поперечных сил по высоте сооружения при землетрясении. В табл. І приведены максимальные значения изгибающих моментов и перерезывающих свл (без множителей $\frac{g}{g}$, $\frac{g}{g}$) вместе с моментами, при которых получились эти максимумы, а так-

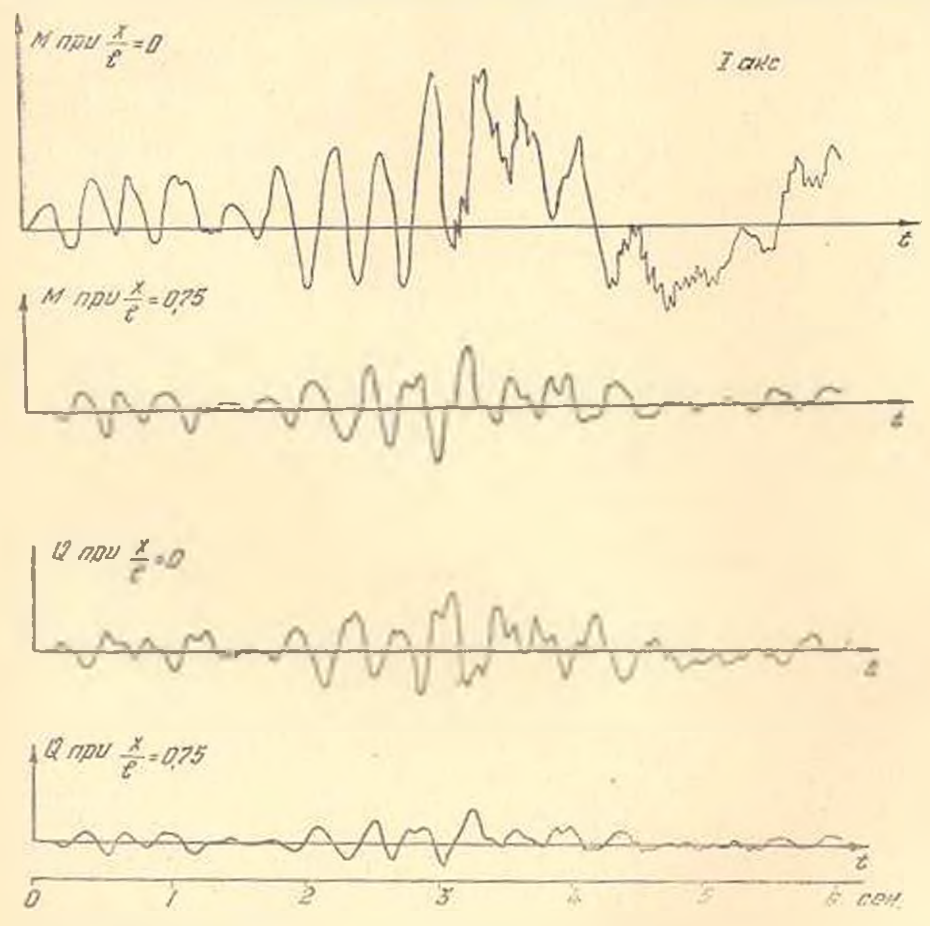


Рис. 1 Графики изменеция во времени пагибающих моментов и перерезывающих сил для акселерограммы № 1 при z = 0,08,

же доли каждой формы колебаний в общем максимуме, для четырех акселерограмм при з =0.08. Зависимости распространения максимальных изгиблющих моментов и поперечных сил при з =0.08 для акселерограмм № 1 — 4 приведены на рис. 2, которые показывают, что максимальные возмущения по высоте сооружения при различных землетрясениях распространяются по-разному. Для одних землетрясений максимальные значения М и Q раньше получаются в нижних сечениях, для других в верхиих сечениях. Для акселерограмм № 1 и № 3 максимальные значения изгибающих моментов и поперечных сил в различных сечениях получаются почти одновременно. Влияние разврамных сечениях получаются почти одновременно.

Val	6.0	000	4

	Аксеифрограмма № 1					Акселерограмма № 2				Акселерограмма № 3					Акселерограмма №					
						Изгибающие мон					тенты без множителя <u>qP</u>									
7	Дож по формам од жисто од жист по од жист по менто од жист по од жист по од жисто о			Доли по формам колебаний - 2 2			возникно- макс, по вормам	Доли по формам колебаний			IIO NE	нозинкио- чакс. по формам	Доли по формах колебаний		MASM	NE 3 M	возникно- гакс. ко ормам			
	1	II	ш	Максимум по трем форман	Время позинк пения микс. п трем форман	1	11	т	Максимум по грем форман	Нремя возник вения макс, п	1	11	ш	уж орм	Время нозник вения макс, п трем формам	1	10	111	Максимум по трем формач	Врсия возники пення макс. но трем формах
0.0 0,1 0,2 0,3 0,4 0,5 0,6 0,7 0,8 0,9	5,2 4,5 3,9 3,1 2,1 1,5 0,8 0,4 0,2 0,03	3,0 1,6 -0,1 0,2 2,9 3,5 3,6 2,7 1,6 -0,5	0,1 0 0,6 0,9 -0,3 0 0,6 0,9 0,6 0,9 0,6	8,4 6,1 4,4 4,3 4,8 5,0 4,9 4,2 2,4 -0,8	3,439 3,439 3,333 3,333 3,226 3,253 3,253 3,253 3,253 3,253 3,253 3,253	3,6 3,1 4'6 -2,0 -1,6 -1,2 -0,6 -0,3 -0,1 -0,0	1 0	-0,3 -0,1 0,1 -1,3 -0,1 0 -6,4 -0,7 -6,5 -0,1	13,4 8,3 5,2 -5,9 -8,7 -9,6 -8,8 -7,1 -4,1 -1,2	2,117 2,070 2,070 2,046 2,046 2,046 2,046 0	-39,4 -35,1 -27,5 -19,6 -14,- 5-9,5 5-2,0 6-0,0	3 — 6,2 5 —17,1 1 —21,7 7 — 20,1 8 —15,1 7 — 9,0 7 — 2,7 0	2 -0,1 -0,7 -0,4 -0,4 0,5 8 0,5 8 0,5 0 0,2	- 8 8 2 4 - 1 8 9 - 1 8 7 - 11 2 - 3 3 0	2,999 2,999 3,(66 3,155 3,199 3,199 3,199 3,199 3,199 0	5,3 4,6 3,9 3,0 2,4 1,8 1,2 0,7 0,3 -0,0	3,5 2,0 0,2 0,8 2,1 2,6 2,4 1,8 1,0 0,3 0	0,8 0,16 0,2 0,2 0 0,2 0,4 0,3 0,3 0,2	9,6 6,7 4,5 4,1 4,5 4,4 3,9 3,0 1,7 0,5	1,544 1,560 1,593 1,317 1,333 1,349 1,365 1,365 1,365 2,699 0
0,0 0,1 0,2 0,3 0,4 0,5 0,6 0,7 0,8 0,9	2,5 2,5 3,5 1,7 2,6 6,3 4,1 3,8 2,1 0,7	20,2 19,9 22,5 21,5 11,6 -0,4 2,2 9,9 12,2 -9,7	10.9 10.2 2,3 -0.2 5,3 8,1 6,2 -0.2 3,5 -5,2 0	33,6 32,6 28,4 23,0 19,5 14,0 12,5 13,5 17,9 14,3	П о п 3,093 3,093 3,093 3,013 3,333 3,173 3,226 3,253 3,013 0	3.6 3.1 4.6 -2.0 -1.6 -1.2 -0.6 -0.3 -0.1 -0.04	10,1 5,3 0,1 - 2,5 - ,9 - 8,3 - 6,0 - 3,4 - 1,0	-0.3 -0.1 0.4 -1.3	13,4 8,3 5,2 5,9 8,7 9,6 8,8 2,1 4,1 1,2	1,670 2,917 2,117 2,070 2,070 2,046 2,046 2,046	-62,0 -61,9 -61,3 -59,7 -56,9 -56,4 -43,8 -35,8	-96,0 -94,6 -86,1 -67,7 -40,6 -2,1 -30,4 -61,2 -89,9	$ \begin{array}{r} 3,2 \\ -2,1 \\ -0,1 \\ 1,6 \\ -10,5 \\ -3,9 \end{array} $	g -161,6 -159,9 -149,5 -127,7 - 95,8 - 69,1 - 78,2 - 97,4 - 92,8	2,977 2,977 2,977 2,977 2,977 3,066 3,199 3,199 3,199 0	7,3 7,3 7,2 7,1 6,9 6,2 5,5 4,4 3,3 -0,6 0	16,9 16,6 15,1 13,8 8,2 0,2 0,5 7,4 8,2 6,7	6,4 6,0 3,8 -0,1 7,5 5,5 -0,1 1,5 3,9 0	30,7 30,0 26,3 20,9 17,5 14,0 10,5 11,7 13,1 9,9	1,544 1,544 1,577 1,593 1,869 1,869 1,349 1,365 2,699

личных коэффициентов внутрениего трения на моменты времени, при котором получаются максимумы заметно при малых затуханиях. При больших затуханиях, моменты времени при которых получаются максимумы не зависят от коэффициента виугреннего трения.

На рисунках 3 и 4 приведены эпюры максимальных значений изгибающих моментов и понеречных сил соответственно для акселерограмм №№ 1 4, где для сравнения пунктиром построены эпюры, вы-

численные при учете только первой формы колебания. Причем, для получения действительных значений изгибающих моментов и поперечных сил, необходимо значеиня приведенные на эпюрах, которые имеют размерность ускорения (см. сек2) соответственно умдля изгибающих мо-

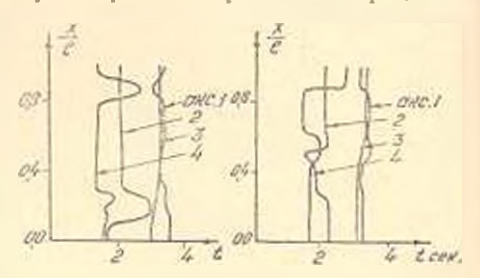


Рис. 2. Зависимости распростравения максимальных нагибающих моментов и перереамнающих сил но высоте бруса npit = -0.08.

Эти эпюры показывают на существенное влияние высших форм колебаний. Увеличение изгибающих моментов в основании от форм колебания соответственно составляет 58, 100, 35, 80% селерограмм N_2 1—4. В сеченин x/I=0.7 высшие формы колебаний

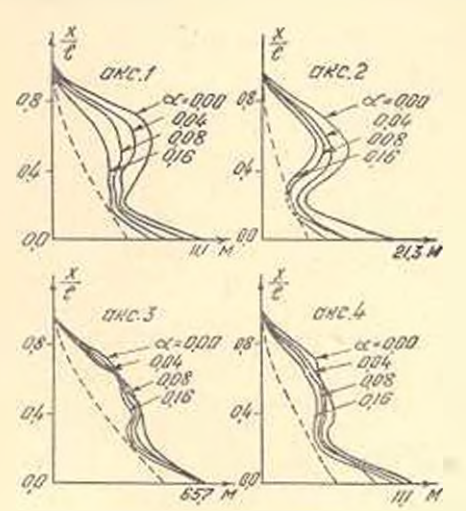


Рис. 3. Эпюры изгибающих момевтов для акселерограмм № 1-4 при T. -2.5 cek. T. =0,4 cek. T. - 0.15 cek.

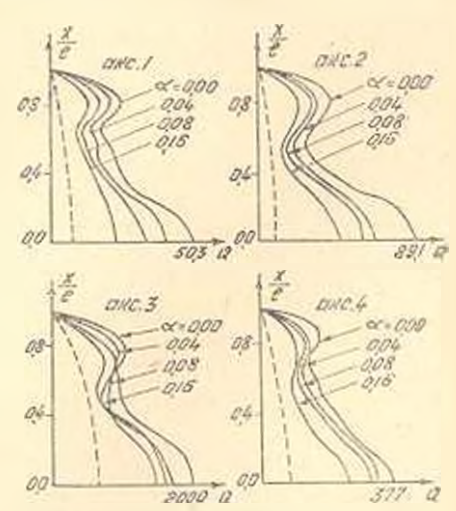


Рис. 1. Эпюры перерезывающих сил для акселерограмы № 1-4 при $T_{*}=2.5$ cen, $T_{*}=0.4$ cen T2=0, 15 cek.

существенно увеличивают значения изгибающих моментов и поперечных сил реагируемые по первой форме колебаний. Для изгибающих моментов это увеличение соответственно составляет 5.8; 7.8; 3,7; 4,2 раза для акселерограмм N = 1 - 4. В верхних сечениях получаются сравнительно большие значения изгибающих моментов по сравнению с основанием. Действительно, значения изгибающих моментов в сечении $\frac{X}{100} = 0.7$ составляют около 50, 53, 37, $\frac{310}{00}$ от изгибающих моментов в основании*.

Таблица 2

.tr	Экспентриситеты										
t	акс 😽 І	акс. № 1	акс. № 3	акс. № 4							
0,0	8,41	13,41	65.8/ g	9.61 g							
0,7	$\frac{4.12l}{0.3g} = \frac{14l}{g}$	$\begin{bmatrix} 7.1t \\ 0.3g \end{bmatrix} = \frac{23.7t}{g}$	$\begin{array}{c c} 24.5t & 81.5t \\ \hline 0.3g & g \end{array}$	$\frac{3.0l}{0.3g} = \frac{10l}{g}$							

Следовательно значение экспентриситетов в верхних частях для четырех акселерограмм всегда больше, чем в нижних частях. В верхних сечениях бруса получаются сравиительно большие значения и для поперечных сил. Отмечение может иметь решающее значение для

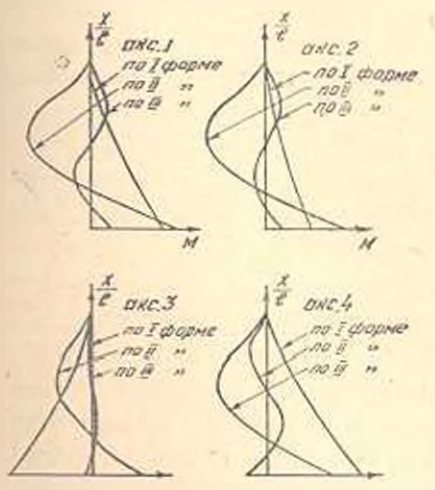


Рис. 5. Эпюры изгибающих моментов по отдельным формам колебаний для акселерограмм № 1--4 при . 0.08.

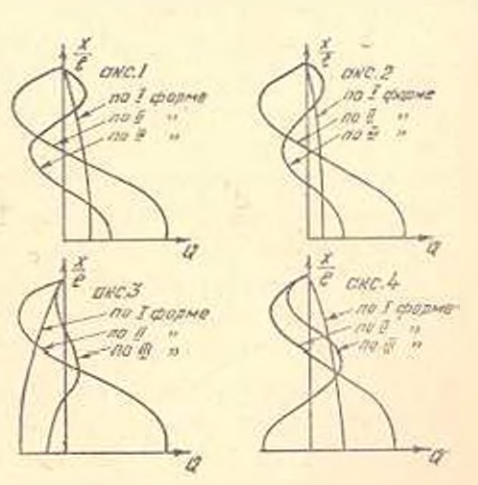


Рис. 6. Эпюры перерелывающих сил по отлельным формам для акселерограмы № 1—4 при х=0,08,

Все сраняения произведены при = 0,08.

верхинх частей сооружений, осуществленных из материалов плохо сопротивляющихся растяжению и срезу. Поэтому вероятность разрушения гибких сооружений и верхней части будет больше, чем в основании, что в общем соответствует картине разрушений при сильных землетрясениях [5].

На рисунках 5 и 6 построены эпюры изгибающих моментов и поперечных сил по отдельным формам, показывающие, что даже в основании значения изгибающих моментов по второй форме колебаний могут быть больше, чем по первой форме. Значения поперечных сил по второй и даже третьей форме колебания по высоте сооружения почти везде больше, чем по первой форме колебания.

Заметим, что влияние высших форм колебаний на распределение поперечных сил, как и следовало ожидать, больше чем на взгибающие моменты, так как при дифференцировании сходимость рядов ухудшается.

На рис. 7 представлены этпоры изгибающих моментов и поперечных сил с учетом трех форм и по первой форме колебаний (пунктир) для $\alpha = 0.08$ при сейсмическом ударе в основании [2]. Эти этпоры

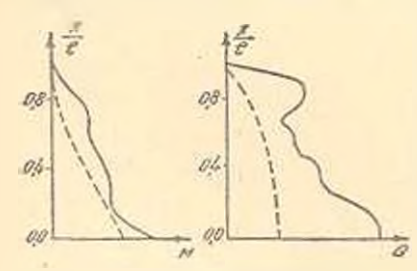


Рис. 7. Эпюры изгибающих моментов и перерезыпающих сил при сейсинческом ударе в основании для т—0,08.

показывают, что для гибких сооружений характеры эпюр изгибающих моментов и поперечных сил с учетом трех форм колебаний, построенных по акселерограмм землетрясений, сходны эпюрам, которые получаются при предположении, что землетрясение можно рассматривать как сейсмический удар. Зависямости изгибающих моментов и поперечных сил от коэффициента впутреннего трения с для сечений

 $\frac{x}{l} = 0$ и $\frac{x}{l} = 0.7$, приведенные на рис. 8.

показывают, что влияние внутреннего трения незначительно. Заметим, что вналогичные зависимости были получены нами при сейсмическом ударе [6].

Проведенные в настоящей статье исследования по расчету гибких сооружений, а также прежние наши исследования по структуре спектрольных крявых [3] и по расчету сдвиговых колебаний зданий [7] показывают, что при помощи современных электронных вычислительных машин можно получить все необходимые данные о поведении различных сооружений при сильных землетрисениях. Предварительное обобщение результатои проведенных исследований одповременно показывает, что несмотря на различные законы колебания почвы при землетрясениях, которые были зарегистрированы в различных точках земли и в различное время, полученные результаты по четырем землетрясениям качественно мало отличаются друг от друга.

Причем, как было отмечено выше, сходные результаты получают-

ся и при рассмотрении землетрясения как кратковременного удара или толчка. Для системы с одной степенью свободы это было отмечено и Д. Хадсоном [8], который считает возможным рассмотреть некоторые типичные землетрясения как последовательность случайных импульсов. К гакому выводу Д. Хадсон пришел путем зналитического

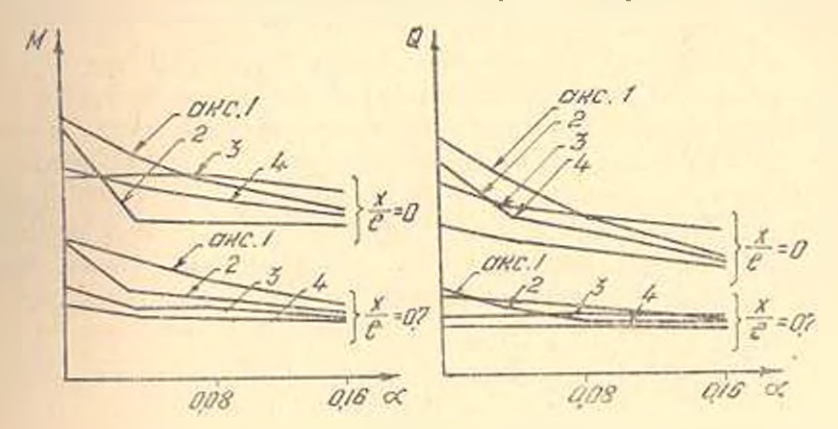


Рис. 8. Завасимости изгибающих моментов и перерелывающих сил от коэффициента внутреннего трения.

построения спектра реакции рассматривая колебання грунта как большое количество импульсов, хаотически распределенных во времени.

В исследованиях по инженерной сейсмологии тоже указываются напроявление землетрясений как последовательных ударов и толчков следующих друг за другом через неправильные промежутки времени. А. Г. Назаров в 1945 году в работе [9] обобщил и дал механическое истолкование сейсмическим ударом и толчкам и их воздействию на сооружения. Им было отмечено также, что результиты расчета простых сооружений с одной степенью свободы на кратковременные сейсмические удары и толчки соответствуют разрушениям, наблюдаемым при сильных землетрясениях.

В настоящее время расчет на сейсмостойкость в ряде стран ведется по спектральной кривой, которая представляет собой постоянную величину при T=0.3, далее убывает по гиперболическому закону. Назаров [1, 10] впервые обратил внимание на то, что горизонтальная часть такого сейсмического спектра соответствует сейсмическому толчку, а гиперболическая часть—сейсмическому удару. На основании этого нами был предложен способ учета влияния высших форм колебаний при расчете сооружений на сейсмостойкость по спектральной кривой [11]. Суть этого метода заключается в следующем. Так как горизонтальную часть спектра можно интерпретировать как сейсмический толчок, а гиперболическую часть как удар (импульст, то наложение сейсмических нагрузок по формам колебаний можно произвести подобно наложениям при толчке и ударе. Это дало возможность применить спектральную кривую и для расчета систем со многими степенями свободы. Но так как нет взвимно однотем со многими степенями свободы. Но так как нет взвимно одно-

значного соответствия между спектрами и землетрясением (в принципе одни и тотже спектр может отвечать землетрясениям с разлачными законами колебания почвы, поскольку спектр дает лишь максимальные значения ускорений), то этот способ нуждался в уточнении
при реальных землетрясениях. Результаты расчета по реальным акселерограммам сильных землетрясений приведенные в настоящей и
прежних статьях [3, 7] показывают, что при практических расчетах
этот способ не даст большой погрешности. Таким образом, результаты проведенных исследований показывают, что используя современные электронные вычислительные машины для расчета различных типов сооружений по реальным акселерограммам достаточного количества сильных землетрясений, сгруппированных по интенсивностям,
грунтовым условиям и географическому положению, можно будет
найти упрощенные методы расчета сооружений на сейсмостойкость.

Армянский НИИ строительных материалов и сооружений

Поступнао 23.V.1962

Է Ե, ԽԱԶԻՅԱՆ

ԿԱՌՈՒՑՎԱԾՔՆԵՐԻ ՍԵՅՍՈԱԿԱՅՈՒՆՈՒԹՅԱՆ ՀԱՇՎԱԲԿԸ ՈՒԺԻՂ ԻՐԿՐԱՇԱՐԺԵՐԻ ԱԿՍԵԼԵՐՈԳՐԱՄԱՆԵՐԻ ՀԻՄԱՆ ՎՐԱ

(Important 2)

Undernhard

Հայվածում բերվում են ձկուն կառուցվածջների սեյսնոկայունուիյան ուսումնասիրուիկունները 7 և 8 բալանոց ուժեղ երկրաշարժերի ակսելերուդրամաների հիման վրա էլևկտրոնային հաշվիլ ժերննաների համար։ Այդ երկրաշարժերի համար։ Այդ երկրաշարժերի համար։ Այդ երկրաշարժերի համար։ Այդ երկրաշարժերի հիմնական բնուիագիրը բերված են [3] աշխատանթում- բյեկարոնային հաշվիլ մերննայի օգնուիյամբ կառուցված են ձկուն կատուցվածրի ծաշվիլ մերննայի օգնուիյամբ կառուցված են ձկուն կատուցվածրի ծաղ մոմննաների և կարող ուժերի մարսիմալ արժերների Լայուրաները մարման ասարբեր գործակիցնորի դեպբում, որոնը բերված են 3-րդ և 1-րդ նկարներում։ Մանրամասն ուսումնասիրության է ենթարկված տատանժան բարձր ձևերի ազդեցությունները ծուղ մոմննաների և կարող ուժերի մեծությունների վրա։ Այդ ուսումնասիրությունները ցույց են տալիս, որ տատանման բարձր ձևերը Լական ազդեցությունները ցույց են անաին, որ տահանանան բարձր ձևերը Լական արդեցություններ ումեն նուն հուն կառուցված թարձր ձևերը հուրա հրա։ Ստացված արդյունըների հիման վրա արժում են ուսենում հիման վրա արժում են ուսենում եկուն կառուցված ին հրարայության հիման վրա արժում են ուսեն անահանանան հիման վրա արժում են ուսեն կան հրարայության հիման հրարայունը հիման վրա արժում են ուսենը և հրարայունը վրա հատարայություններ ուժեղ երկրաշարժերի ժամահանակ հիմեն կառուցվածըների թույթայնան համանանական անդերի վերարերյաչ։

Հողվամի վերջում ելնելով առացված արդյունըներից և ամվափելով [3, 7] աշխատանըների արդյունըները նշվում է, որ օգտագործելով ժամանակակից էլնկտրոնային հաշվիչ մերինաները բավական քվով ուժեղ երկրաշարժերի աղդեցությունները տարբեր կառուցվածըների վրա ուսումնասիրելու համար, հնարավոր կլինի ստանալ ավելի պարզ մեքեոցներ կառուցվածըների սելանուկյունն ուսումնասիրելիա

ЛИГЕРАТУРА

- 1. Назаров Л. Г. Метод виженерного анализа сейсмических сил. Ерепан 1959
- Ханиян Э. Е. Колебание бруса под действием сейсмического удара и толчка с учетом рассеяния энергии. Изпестия АН Армянской ССР (серия ТН г. X-№ 6, 1957.
- Ханиян Э. Е. Расчет сооружений на сенсинстойкость по акселерограммам сильных земяетрясений (Сообщение 1). Изпестия АН Армянской ССР (серия ТН). т. XV, № 3, 1962.
- 4 Медведев С. В. Ускорение колебании грунта при сильных землетрясениях. Тр-Института физики Земли АН СССР № 10 (177). Вопросы инженерной сейсмоаогии. Вып. 3, изд. АН СССР. М., 1960.
- Рассказовский В. Т. Колебание гибких сооружений, вызванных действием кратковременных инерпионных нагрузок. Навестия АН Узбекской ССР, № 6, 1956.
- Хачиян Э. Е. О влиянии высших форм колебаний и рассеяния энергии на неличину сейсмической нагрузки. Тр. Армянского Института стройматериалов и сооружений. Вып. 1, Ереван. 1959.
- Хачиян Э. Е. Использование электронных вычислительных машин для расчета сооружений со многими степенями своболы на сейсмостойкость. Бюллетень Совета по сейсмологии АН СССР. М., 1962 в печати).
- Хадсон Д. Техника построения спектральной реакции, применяемая и инженерной сейсмогойн. Международная конференция по сейсмостойному строительству-М., Госстройналат, 1961.
- 9. Назаров А. Г. Сейсмические удары и толчки и их тействие на сооружения. Гр бюро антисейсынческого строительства АН Грузинской ССР, Тбилиси, 1945.
- Назарав А. Г. Упрощенный способ расчета сооружений ил сейсмостойкость. Изпестия АН Армянской ССР, т. 1X. № 10, 1956.
- Хачиян Э. Е. К интерпретации сейсмического спектра и учету ваняни высших форм келебаний "Известия АН Армянской ССР* серия ГН т. XII. № 3, 1958-